

Simulation numérique d'écoulements visco-élastiques avec inclusions rigides

Sébastien Martin

Université Paris Descartes / MAP5 CNRS-UMR 8145

École d'été "Écoulements gravitaires et risques naturels"
Piriac-sur-mer, 1-4 juin 2015.

Plan de l'exposé

Introduction

Interaction fluide-particules

Méthode numérique

Résultats numériques

Conclusions

Écoulement régi par le système

$$\text{Re} \frac{d\mathbf{u}}{dt} = \mathbf{f} + \text{div}(-p \text{Id} + \Sigma), \quad \text{div}(\mathbf{u}) = 0.$$

- Fluides newtoniens :

$$\Sigma = 2 \mathbb{D}(\mathbf{u})$$

- Fluides quasi-newtoniens :

$$\Sigma = 2 f(\|\mathbb{D}(\mathbf{u})\|) \mathbb{D}(\mathbf{u}), \quad f(\|\mathbb{D}(\mathbf{u})\|) = m \|\mathbb{D}(\mathbf{u})\|^n$$

- Fluides visco-élastiques :

$$\Sigma = 2(1 - r) \mathbb{D}(\mathbf{u}) + \sigma_{\text{el.}}$$

$$\text{We} \left(\frac{d\sigma_{\text{el.}}}{dt} + g_a(\nabla \mathbf{u}, \sigma_{\text{el.}}) \right) + \sigma_{\text{el.}} = 2r \mathbb{D}(\mathbf{u})$$

Terminologie : Jeffreys $r < 1$, Maxwell $r = 1$, sous-convecté $a = -1$, corotationnel $a = 0$, sur-convecté $a = +1$...

Modèle d'Oldroyd avec contrainte diffusive :

$$\left\{ \begin{array}{ll} \text{Re} (\partial_t \mathbf{u} + \mathbf{u} \cdot \nabla \mathbf{u}) - (1-r) \Delta \mathbf{u} + \nabla p = \text{div}(\boldsymbol{\sigma}) + \mathbf{f}, & \text{dans } \Omega, \\ \text{div}(\mathbf{u}) = 0, & \text{dans } \Omega, \\ \text{We} (\partial_t \boldsymbol{\sigma} + \mathbf{u} \cdot \nabla \boldsymbol{\sigma} + g_a(\nabla \mathbf{u}, \boldsymbol{\sigma})) + \boldsymbol{\sigma} - D \Delta \boldsymbol{\sigma} = 2r \mathbb{D}(\mathbf{u}), & \text{dans } \Omega, \\ \mathbf{u} = \mathbf{0}, & \text{sur } \partial\Omega, \\ D \partial_n \boldsymbol{\sigma} = \mathbf{0}, & \text{sur } \partial\Omega, \end{array} \right.$$

Réf. : Guillopé & Saut '90, Lions & Masmoudi '00, Molinet & Talhouk '04

Schéma numérique

$$\text{Re} \frac{\mathbf{u}^{n+1} - \mathbf{u}^n \circ \kappa^n}{\Delta t} - (1-r) \Delta \mathbf{u}^{n+1} + \nabla p^{n+1} = \text{div}(\boldsymbol{\sigma}^{n+1}) + \mathbf{f}^{n+1},$$

$$\text{div}(\mathbf{u}^{n+1}) = 0,$$

$$\text{We} \left(\frac{\boldsymbol{\sigma}^{n+1} - \boldsymbol{\sigma}^n \circ \kappa^n}{\Delta t} + g_a(\nabla \mathbf{u}^{n+1}, \boldsymbol{\sigma}^{n+1}) \right) + \boldsymbol{\sigma}^{n+1} - D \Delta \boldsymbol{\sigma}^{n+1} = 2r \mathbb{D}(\mathbf{u}^{n+1}).$$

Modèle d'Oldroyd avec contrainte diffusive :

$$\left\{ \begin{array}{ll} \text{Re} (\partial_t \mathbf{u} + \mathbf{u} \cdot \nabla \mathbf{u}) - (1-r) \Delta \mathbf{u} + \nabla p = \text{div}(\boldsymbol{\sigma}) + \mathbf{f}, & \text{dans } \Omega, \\ \text{div}(\mathbf{u}) = 0, & \text{dans } \Omega, \\ \text{We} (\partial_t \boldsymbol{\sigma} + \mathbf{u} \cdot \nabla \boldsymbol{\sigma} + g_a(\nabla \mathbf{u}, \boldsymbol{\sigma})) + \boldsymbol{\sigma} - D \Delta \boldsymbol{\sigma} = 2r \mathbb{D}(\mathbf{u}), & \text{dans } \Omega, \\ \mathbf{u} = \mathbf{0}, & \text{sur } \partial\Omega, \\ D \partial_n \boldsymbol{\sigma} = \mathbf{0}, & \text{sur } \partial\Omega, \end{array} \right.$$

Réf. : Guillopé & Saut '90, Lions & Masmoudi '00, Molinet & Talhouk '04

Schéma numérique

$$\text{Re} \frac{\mathbf{u}^{n+1} - \mathbf{u}^n \circ \kappa^n}{\Delta t} - (1-r) \Delta \mathbf{u}^{n+1} + \nabla p^{n+1} = \text{div}(\boldsymbol{\sigma}^n) + \mathbf{f}^{n+1},$$

$$\text{div}(\mathbf{u}^{n+1}) = 0,$$

$$\text{We} \left(\frac{\boldsymbol{\sigma}^{n+1} - \boldsymbol{\sigma}^n \circ \kappa^n}{\Delta t} + g_a(\nabla \mathbf{u}^{n+1}, \boldsymbol{\sigma}^{n+1}) \right) + \boldsymbol{\sigma}^{n+1} - D \Delta \boldsymbol{\sigma}^{n+1} = 2r \mathbb{D}(\mathbf{u}^{n+1}).$$

Interaction fluide-structure :

- ▶ validation de modèles macroscopiques (description fine des interactions par paire, étude de la sédimentation,...) ;
- ▶ étude de la rhéologie de fluides complexes (suspensions denses, contact, forces de lubrification...)

Références (fluides newtoniens) :

- **Domaines mobiles** : Hu, Joseph & Crochet '92, Johnson & Tezduyar '96, Maury '99, Villone *et al.* '10, Choi, Hulsen & Meijer '10
- **Domaines fictifs (1)** : Glowinski, Pan, Hesla & Joseph '99, Patankar, Singh, Joseph, Glowinski & Pan '00
- **Domaines fictifs (2)** : Angot, Bruneau & Fabrie '99, Randrianarivelo, Pianet, Vincent & Caltagirone '05, Lefebvre '07

Simulation d'écoulements *visco-élastiques* : Feng, Joseph, Glowinski & Pan '95, Huang, Feng, Hu & Joseph '97

Plan de l'exposé

Introduction

Interaction fluide-particules

Méthode numérique

Résultats numériques

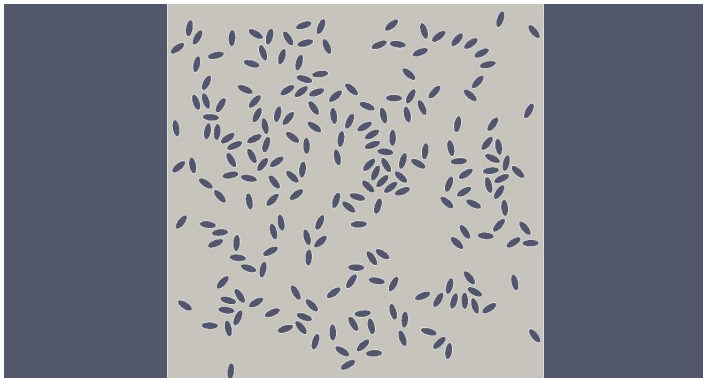
Conclusions

- ▶ collection de corps rigides :

$$B(t) = \bigcup_{i=1}^N B_i(t)$$

- ▶ domaine fluide :

$$\Omega \setminus \overline{B(t)}$$



- Tenseur de contraintes :

$$\Sigma := 2\mu(1 - r)\mathbb{D}(\mathbf{u}) + \sigma$$

- Équations d'Oldroyd dans le domaine fluide :

$$\rho_f (\partial_t \mathbf{u} + \mathbf{u} \cdot \nabla \mathbf{u}) - \operatorname{div}(\Sigma) + \nabla p = \mathbf{f}_f, \quad \text{dans } \bigcup_{t \in (0, T)} \{t\} \times (\Omega \setminus \overline{B(t)}),$$

$$\operatorname{div}(\mathbf{u}) = 0, \quad \text{dans } \bigcup_{t \in (0, T)} \{t\} \times (\Omega \setminus \overline{B(t)}),$$

$$\lambda (\partial_t \sigma + \mathbf{u} \cdot \nabla \sigma + g_a(\nabla \mathbf{u}, \sigma)) + \sigma = 2r\mu \mathbb{D}(\mathbf{u}), \quad \text{dans } \bigcup_{t \in (0, T)} \{t\} \times (\Omega \setminus \overline{B(t)}).$$

- Conditions aux limites (et rigidité des objets) :

$$\mathbf{u}(t, \mathbf{x}) = \mathbf{v}_i(t) + \omega_i(t)(\mathbf{x} - \mathbf{x}_i)^\perp, \quad \mathbf{x} \in \partial B_i(t),$$

- Pour chaque particule i , on désigne par

- ▶ (\mathbf{x}_i, θ_i) ses coordonnées ;
- ▶ (\mathbf{v}_i, ω_i) ses vitesses (translation / rotation) :

$$\mathbf{v}_i = \dot{\mathbf{x}}_i, \quad \omega_i = \dot{\theta}_i$$

- Couplage fluide-structure :

$$m_i \dot{\mathbf{v}}_i(t) = \int_{B_i(t)} \mathbf{f}_i(t, \mathbf{x}) \, d\mathbf{x} - \int_{\partial B_i(t)} \boldsymbol{\Sigma}(t, \mathbf{x}) \cdot \mathbf{n}(t, \mathbf{x}) \, d\gamma(\mathbf{x}),$$

$$J_i \dot{\omega}_i(t) = \int_{B_i(t)} (\mathbf{x} - \mathbf{x}_i(t))^\perp \cdot \mathbf{f}_i(t, \mathbf{x}) \, d\mathbf{x}$$

$$- \int_{\partial B_i(t)} (\mathbf{x} - \mathbf{x}_i(t))^\perp \cdot (\boldsymbol{\Sigma}(t, \mathbf{x}) \cdot \mathbf{n}(t, \mathbf{x})) \, d\gamma(\mathbf{x}),$$

où \mathbf{f}_i désigne les forces (non-hydrodynamiques) appliquées à la particule, m_i est sa masse et J_i son moment d'inertie.

Plan de l'exposé

Introduction

Interaction fluide-particules

Méthode numérique

Résultats numériques

Conclusions

Approche de type domaine fictif : le champ de vitesse, initialement défini sur le domaine $\Omega \setminus B$, est étendu sur Ω :

$$\mathbf{u}(\mathbf{x}) = \mathbf{V}_i + \omega_i \cdot (\mathbf{x} - \mathbf{x}_i)^\perp, \quad \mathbf{x} \in B_i, \quad \forall i.$$

Les champs de pression et contraintes sont prolongés par 0.

Nécessairement, \mathbf{V}_i et ω_i sont de la forme

$$\mathbf{V}_i[\mathbf{u}] := \frac{1}{\text{mes}(B_i)} \int_{B_i} \mathbf{u}(\mathbf{x}) \, d\mathbf{x}, \quad \omega_i[\mathbf{u}] := \frac{\int_{B_i} \mathbf{u}(\mathbf{x}) \cdot (\mathbf{x} - \mathbf{x}_i)^\perp \, d\mathbf{x}}{\int_{B_i} |\mathbf{x} - \mathbf{x}_i|^2 \, d\mathbf{x}}$$

Mouvement rigide dans B :

$$\begin{aligned} V_B &:= \left\{ \mathbf{u} \in H_0^1(\Omega), \mathbf{u}(\mathbf{x}) = \mathbf{V}_i[\mathbf{u}] + \omega_i[\mathbf{u}] \cdot (\mathbf{x} - \mathbf{x}_i)^\perp \text{ p.p. dans } B_i, \forall i \right\} \\ &= \left\{ \mathbf{u} \in H_0^1(\Omega), \mathbb{D}(\mathbf{u}) = \mathbf{0} \text{ p.p. dans } B \right\}, \end{aligned}$$

$$Z_B := \{ p \in L_0^2(\Omega), p = 0 \text{ p.p. dans } B \},$$

$$W_B := \{ \boldsymbol{\sigma} \in H_{\text{sym.}}^1(\Omega), \boldsymbol{\sigma} = 0 \text{ p.p. dans } B \}$$

Dans le cas newtonien non-inertiel :

$$\left\{ \begin{array}{l} \text{Trouver } (\mathbf{u}, p) \in \mathbf{V}_B \times Z_B \text{ tel que} \\ \bullet \quad 2\mu \int_{\Omega} \mathbb{D}(\mathbf{u}) \cdot \mathbb{D}(\mathbf{w}) - \int_{\Omega} p \operatorname{div}(\mathbf{w}) = \int_{\Omega} \mathbf{f} \cdot \mathbf{w}, \\ \bullet \quad \int_{\Omega} q \operatorname{div}(\mathbf{u}) = 0, \\ \text{pour tout } (\mathbf{w}, q) \in \mathbf{V}_B \times Z_B. \end{array} \right.$$

Terme source :

$$\mathbf{f} = \mathbf{f}_f \mathbf{1}_{\Omega \setminus \overline{B}} + \sum_{i=1}^N \mathbf{f}_i \mathbf{1}_{B_i}.$$

Espace fonctionnel **contraint** : $\mathbf{V}_B = \{\mathbf{u} \in H_0^1(\Omega), \mathbb{D}(\mathbf{u}) = 0 \text{ p.p. dans } B\}$

Dans le cas newtonien non-inertiel :

$$\left\{ \begin{array}{l} \text{Trouver } (\mathbf{u}, p) \in H_0^1(\Omega) \times L_0^2(\Omega) \text{ tel que} \\ \bullet \quad 2\mu \int_{\Omega} \mathbb{D}(\mathbf{u}) \cdot \mathbb{D}(\mathbf{w}) + \frac{2}{\varepsilon} \int_B \mathbb{D}(\mathbf{u}) \cdot \mathbb{D}(\mathbf{w}) - \int_{\Omega} p \operatorname{div}(\mathbf{w}) = \int_{\Omega} \mathbf{f} \cdot \mathbf{w}, \\ \bullet \quad \int_{\Omega} q \operatorname{div}(\mathbf{u}) = 0, \\ \text{pour tout } (\mathbf{w}, q) \in H_0^1(\Omega) \times L_0^2(\Omega). \end{array} \right.$$

Terme source :

$$\mathbf{f} = \mathbf{f}_f \mathbf{1}_{\Omega \setminus \overline{B}} + \sum_{i=1}^N \mathbf{f}_i \mathbf{1}_{B_i}.$$

Espace fonctionnel non contraint : $H_0^1(\Omega)$

Algorithme : mise en œuvre pratique

- i. Détermination du champ de vitesse instantané \mathbf{u}^n : résolution du problème mixte pénalisé associé à la position des particules

$$B := B^n = \bigcup_{i=1}^N B_i^n$$

et construction du terme source $\mathbf{f} := \mathbf{f}^n$.

- ii. Calcul de la vitesse des particules :

$$\mathbf{v}_i^n = \frac{1}{\text{mes}(B_i^n)} \int_{B_i^n} \mathbf{u}^n(\mathbf{x}) \, d\mathbf{x}, \quad \omega_i^n = \frac{\int_{B_i^n} \mathbf{u}^n(\mathbf{x}) \cdot (\mathbf{x} - \mathbf{x}_i^n)^\perp \, d\mathbf{x}}{\int_{B_i^n} |\mathbf{x} - \mathbf{x}_i^n|^2 \, d\mathbf{x}}$$

- iii. Mise à jour des positions des particules (détermination de B^{n+1}) :

$$\mathbf{x}_i^{n+1} = \mathbf{x}_i^n + h \mathbf{v}_i^n, \quad \theta_i^{n+1} = \theta_i^n + h \omega_i^n.$$

Dans le cas visco-élastique inertiel, le problème variationnel est le suivant :

$$\left\{ \begin{array}{l} \text{Trouver } (\mathbf{u}^{n+1}, \rho^{n+1}) \in V_{B^{n+1}} \times Z_{B^{n+1}} \text{ t. q., pour tout } (\mathbf{w}, q) \in V_{B^{n+1}} \times Z_{B^{n+1}}, \\ \bullet \quad \frac{1}{\Delta t} \int_{\Omega} \rho^{n+1} \mathbf{u}^{n+1} \cdot \mathbf{w} + 2\mu \int_{\Omega} \mathbb{D}(\mathbf{u}^{n+1}) \cdot \mathbb{D}(\mathbf{w}) - \int_{\Omega} \rho^{n+1} \operatorname{div}(\mathbf{w}) \\ \quad = \frac{1}{\Delta t} \int_{\Omega} ((\rho^n \mathbf{u}^n) \circ \kappa^n) \cdot \mathbf{w} - \int_{\Omega} \boldsymbol{\sigma}^n : \mathbb{D}(\mathbf{w}) + \int_{\Omega} \mathbf{f}^{n+1} \cdot \mathbf{w}, \\ \bullet \quad \int_{\Omega} q \operatorname{div}(\mathbf{u}^{n+1}) = 0, \end{array} \right.$$

où le terme source \mathbf{f}^{n+1} et la densité ρ^{n+1} sont définies par

$$\mathbf{f}^{n+1} = \mathbf{f}_f \mathbf{1}_{\Omega \setminus \overline{B^{n+1}}} + \sum_{i=1}^N \mathbf{f}_i \mathbf{1}_{B_i^{n+1}}, \quad \rho^{n+1} = \rho_f \mathbf{1}_{\Omega \setminus \overline{B^{n+1}}} + \sum_{i=1}^N \rho_i \mathbf{1}_{B_i^{n+1}}.$$

$$\left\{ \begin{array}{l} \text{Trouver } \boldsymbol{\sigma}^{n+1} \in W_{B^{n+1}} \text{ t. q., pour tout } \boldsymbol{\tau} \in W_{B^{n+1}}, \\ \frac{\lambda}{\Delta t} \int_{\Omega} \boldsymbol{\sigma}^{n+1} : \boldsymbol{\tau} + \lambda \int_{\Omega} \mathbf{g}_a(\nabla \mathbf{u}^{n+1}, \boldsymbol{\sigma}^{n+1}) : \boldsymbol{\tau} + \int_{\Omega} \boldsymbol{\sigma}^{n+1} : \boldsymbol{\tau} + d \int_{\Omega} \nabla \boldsymbol{\sigma}^{n+1} : \nabla \boldsymbol{\tau} \\ \quad = \frac{\lambda}{\Delta t} \int_{\Omega} (\boldsymbol{\sigma}^n \circ \kappa^n) : \boldsymbol{\tau} + \int_{\Omega} 2r\mu \mathbb{D}(\mathbf{u}^{n+1}) : \boldsymbol{\tau}. \end{array} \right.$$

Relaxation des contraintes sur les espaces fonctionnels par **pénalisation** :

- ▶ pénalisation du champ de vitesse :

$$\frac{2}{\varepsilon} \int_B \mathbb{D}(\mathbf{u}) \cdot \mathbb{D}(\mathbf{w})$$

- ▶ pénalisation de la contrainte élastique :

$$\frac{1}{\varepsilon} \left(\int_B \boldsymbol{\sigma} : \boldsymbol{\tau} + \int_B \nabla \boldsymbol{\sigma} : \nabla \boldsymbol{\tau} \right).$$

Relaxation des contraintes sur les espaces fonctionnels par **pénalisation** :

- ▶ pénalisation du champ de vitesse :

$$\frac{2}{\varepsilon} \int_B \mathbb{D}(\mathbf{u}) \cdot \mathbb{D}(\mathbf{w})$$

- ▶ pénalisation de la contrainte élastique :

$$\frac{1}{\varepsilon} \left(\int_B \boldsymbol{\sigma} : \boldsymbol{\tau} + \int_B \nabla \boldsymbol{\sigma} : \nabla \boldsymbol{\tau} \right).$$

Intérêt de la combinaison *splitting* / pénalisation :

- ▶ solveur de type Stokes ou Navier-Stokes
- ▶ solveur de type système de transport linéaire
- ▶ éléments finis usuels
- ▶ maillages fixes, structurés ou non structurés
- ▶ schéma implicite par point-fixe

Plan de l'exposé

Introduction

Interaction fluide-particules

Méthode numérique

Résultats numériques

Conclusions

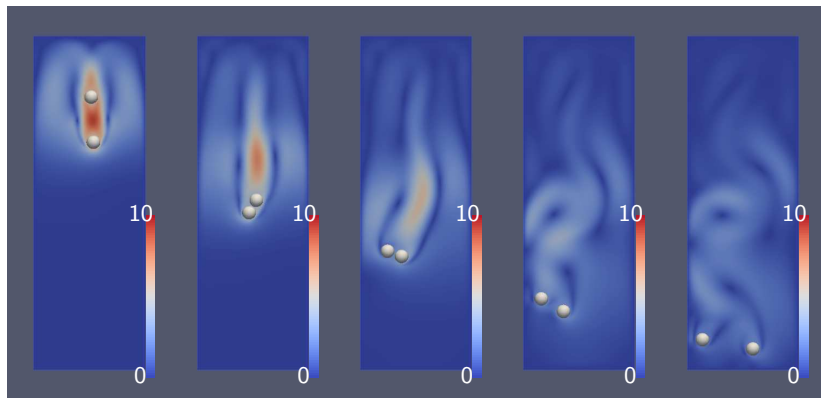
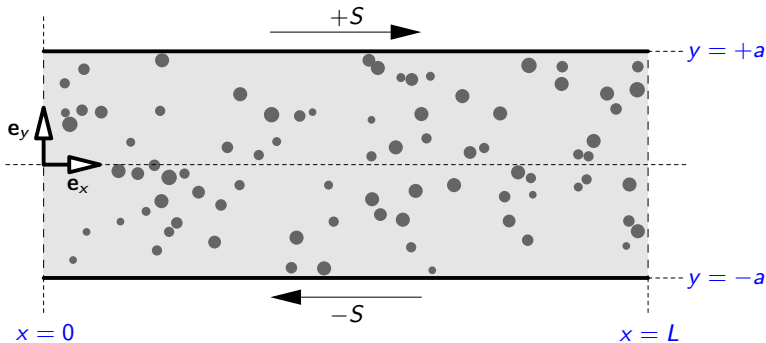


Figure: Drafting, kissing, tumbling

Definition 1

La *viscosité effective* d'un fluide est une observable macroscopique qui caractérise la résistance du fluide déformé par une contrainte de cisaillement.



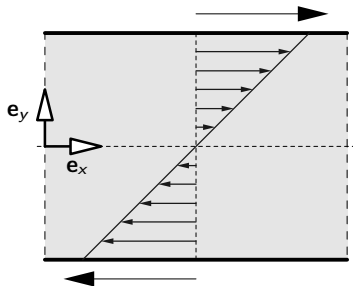
- Tenseur de contraintes de Cauchy pour un fluide newtonien :

$$\Sigma_{\text{tot.}} = p\mathbf{I} - 2\mu\mathbb{D}(\mathbf{u})$$

- Écoulement de Couette :

$$\mathbf{u}(x, y) = S\frac{y}{a}\mathbf{e}_x,$$

$$p(x, y) = 0.$$



- Forces tangentielles (de cisaillement) exercées par les parois sur le fluide :

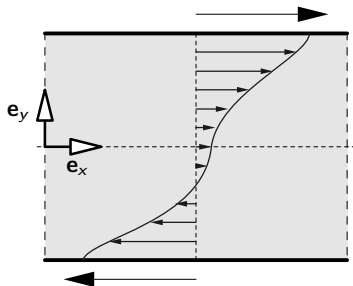
$$\mathcal{F}_{|y=\pm a} = \int_0^L (\pm\mathbf{e}_x) \cdot (-\Sigma_{\text{tot.}})|_{y=\pm a} \cdot (\pm\mathbf{e}_y) dx$$

- Pour un fluide newtonien,

$$\mu = \frac{a}{2LS}(\mathcal{F}_{|y=+a} + \mathcal{F}_{|y=-a}).$$

- Tenseur de contraintes de Cauchy pour un fluide **complexe** :

$$\Sigma_{\text{tot.}} = p\mathbf{I} - \Sigma$$



- Forces tangentielles (de cisaillement) exercées par les parois sur le fluide :

$$\mathcal{F}_{|y=\pm a} = \int_0^L (\pm \mathbf{e}_x) \cdot (-\Sigma_{\text{tot.}})|_{y=\pm a} \cdot (\pm \mathbf{e}_y) dx$$

- Pour un fluide **complexe**,

$$\mu_{\text{eff}} = \frac{a}{2LS} (\mathcal{F}_{|y=+a} + \mathcal{F}_{|y=-a}).$$

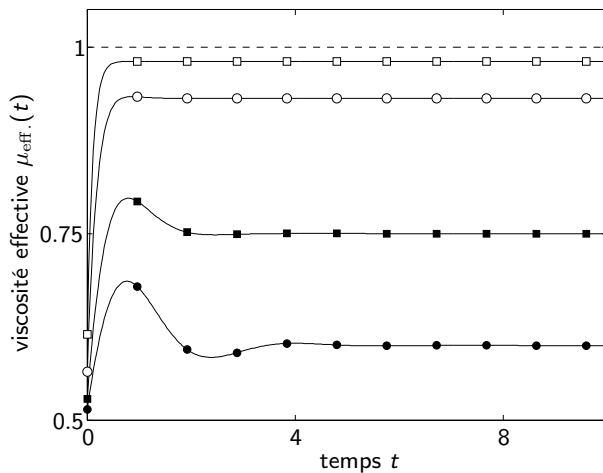


Figure: Viscosité effective pour le modèle d'Oldroyd, sans inclusion de particules rigides, avec $r = 0.5$ et différentes valeurs de λ : $\lambda = 0.0$ (---), $\lambda = 0.1$ (□), $\lambda = 0.2$ (○), $\lambda = 0.5$ (■), $\lambda = 1.0$ (●).

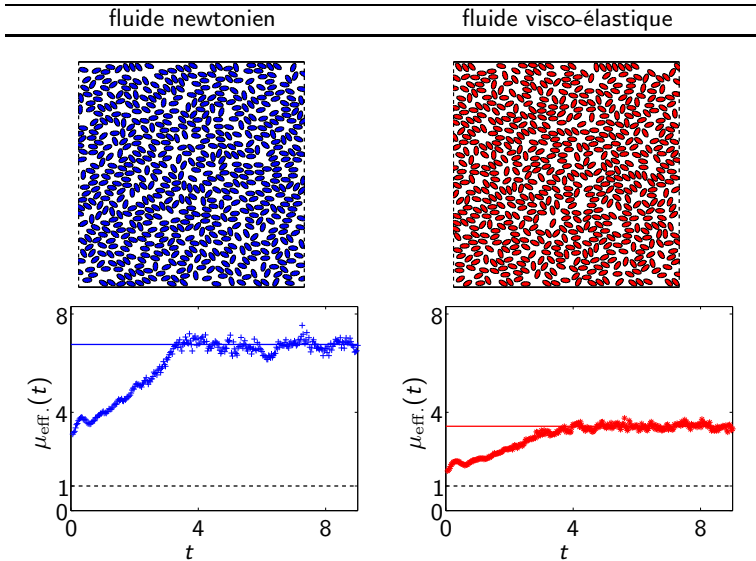


Figure: Viscosité effective d'une suspension de 625 particules (fraction solide : 40%).

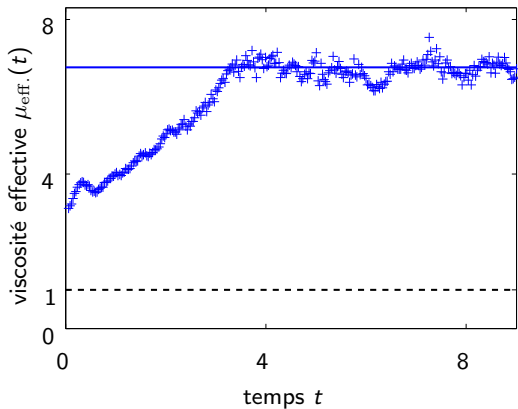


Figure: Viscosité effective d'une suspension de 625 particules rigides dans un fluide visco-élastique. Paramètres : $r = 0.0$ et $\lambda = 0.000$.

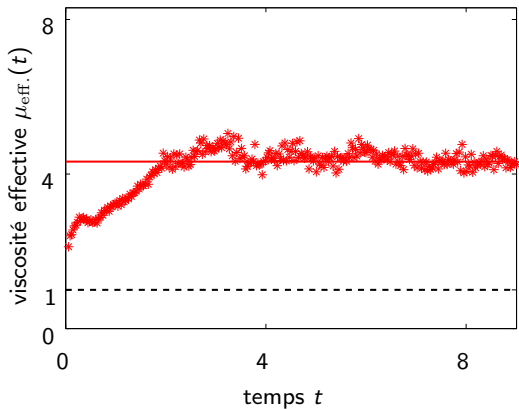


Figure: Viscosité effective d'une suspension de 625 particules rigides dans un fluide visco-élastique. Paramètres : $r = 0.5$ et $\lambda = 0.010$.

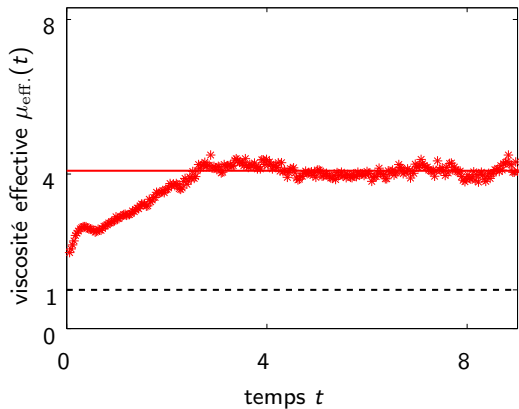


Figure: Viscosité effective d'une suspension de 625 particules rigides dans un fluide visco-élastique. Paramètres : $r = 0.5$ et $\lambda = 0.100$.

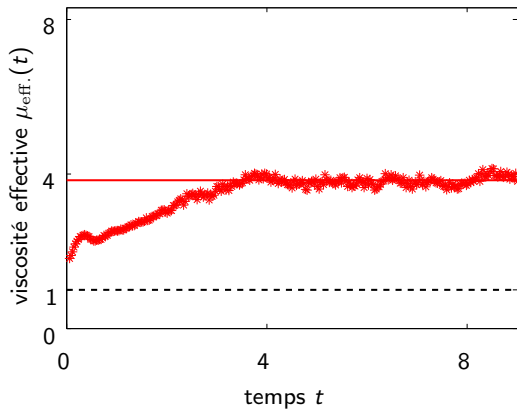


Figure: Viscosité effective d'une suspension de 625 particules rigides dans un fluide visco-élastique. Paramètres : $r = 0.5$ et $\lambda = 0.200$.

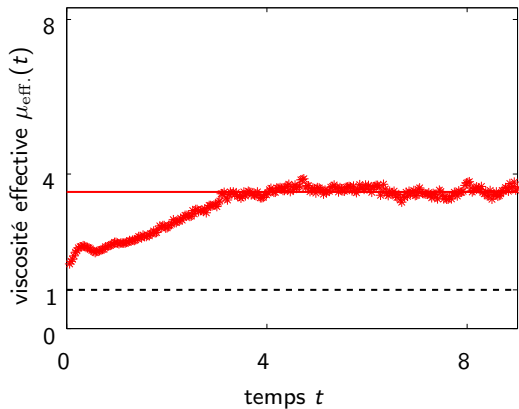


Figure: Viscosité effective d'une suspension de 625 particules rigides dans un fluide visco-élastique. Paramètres : $r = 0.5$ et $\lambda = 0.500$.

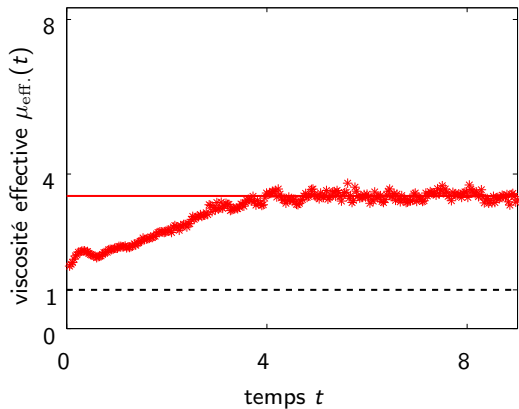


Figure: Viscosité effective d'une suspension de 625 particules rigides dans un fluide visco-élastique. Paramètres : $r = 0.5$ et $\lambda = 1.000$.

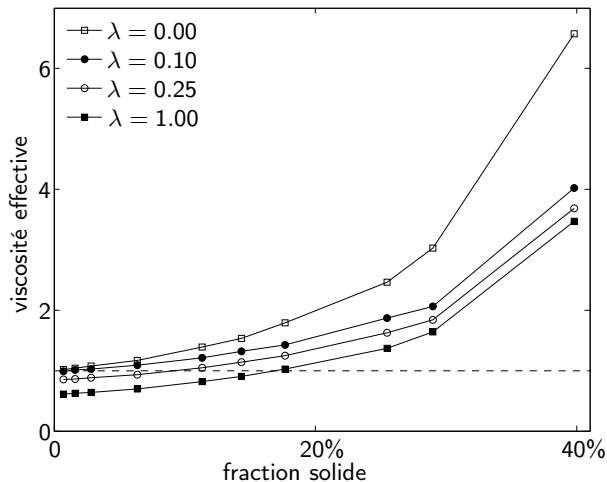


Figure: Influence de la fraction solide sur la viscosité effective d'une suspension de particules rigides dans un fluide visco-élastique.

Plan de l'exposé

Introduction

Interaction fluide-particules

Méthode numérique

Résultats numériques

Conclusions

- Avantages et inconvénients de la pénalisation
- Simulations 3D
- Régimes $We \gg 1$, $Re \gg 1$
- *Shear-bending* dans le régime de Johnson-Segalman ($a \neq 0$)
- Applications : transport mucociliaire etc.